



دانشگاه صنعتی شریف

بسم الله الرحمن الرحيم



قطب علمی رمز

سامانه های رمز کلید مخفی مبتنی بر کدهای LDPC

رضا هوشمند

دانشکده مهندسی برق، دانشگاه آزاد اسلامی واحد علوم و تحقیقات

r.hooshmand@srbiau.ac.ir

فهرست مطالب

□ مقدمه ای بر سامانه های رمز کلید مخفی مبتنی بر مسائل سخت کدینگ

□ سامانه های رمز کلید مخفی مبتنی بر کدهای LDPC

○ سامانه توأم رمزگذاری کلید مخفی – کدگذاری کانال مبتنی بر کدهای

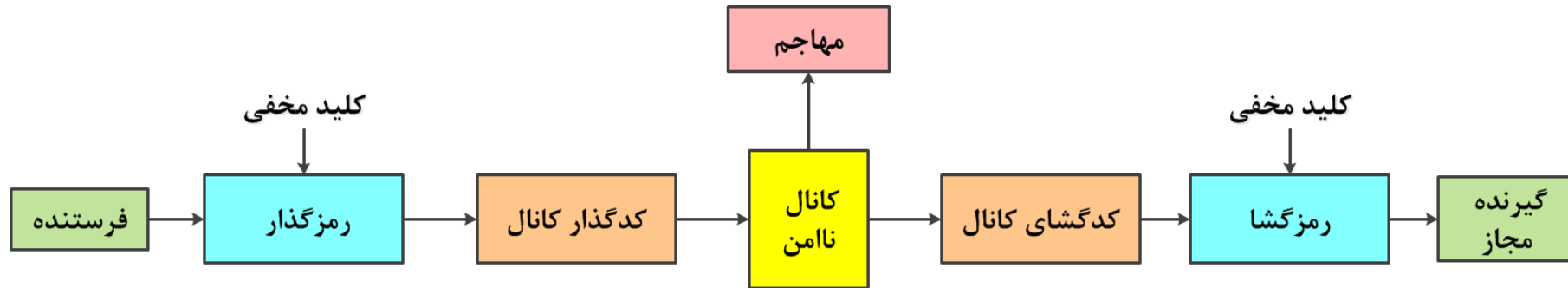
EG-QC-LDPC

○ سامانه توأم رمزگذاری کلید مخفی – کدگذاری کانال مبتنی بر کدهای

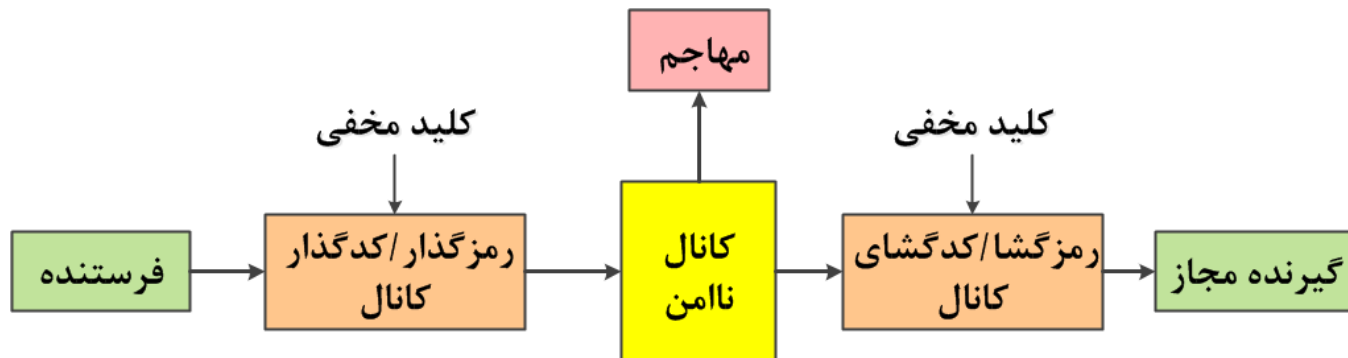
EDF-QC-LDPC

مقدمه

مقدمه



نمودار گردش سامانه های مخابراتی متداول



نمودار گردش سامانه های رمز کلید مخفی مبتنی بر مسائل سخت کدینگ

مقدمه

□ مزایای سامانه های رمز کلید مخفی مبتنی بر مسائل سخت کدینگ:

- کاهش پیچیدگی محاسباتی و افزایش سرعت
- افزایش بازدهی مصرف انرژی
- مقاوم در برابر حملات رایانه های کوانتومی
- مناسب جهت انتقال اطلاعات با حجم زیاد

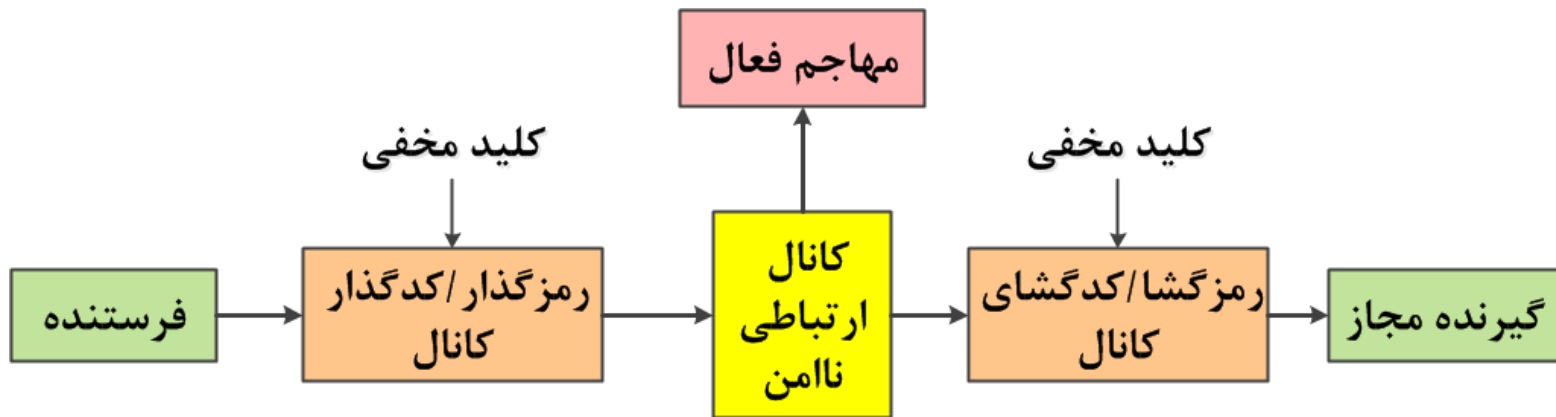
□ لازمه رسیدن به این اهداف:

- طراحی مناسب الگوریتم های رمزگذاری/کدگذاری و رمزگشایی/کدگشایی
- استفاده از کدهای مناسب

مقدمه

□ انواع سامانه های رمز کلید مخفی مبتنی بر مسائل سخت کدینگ:

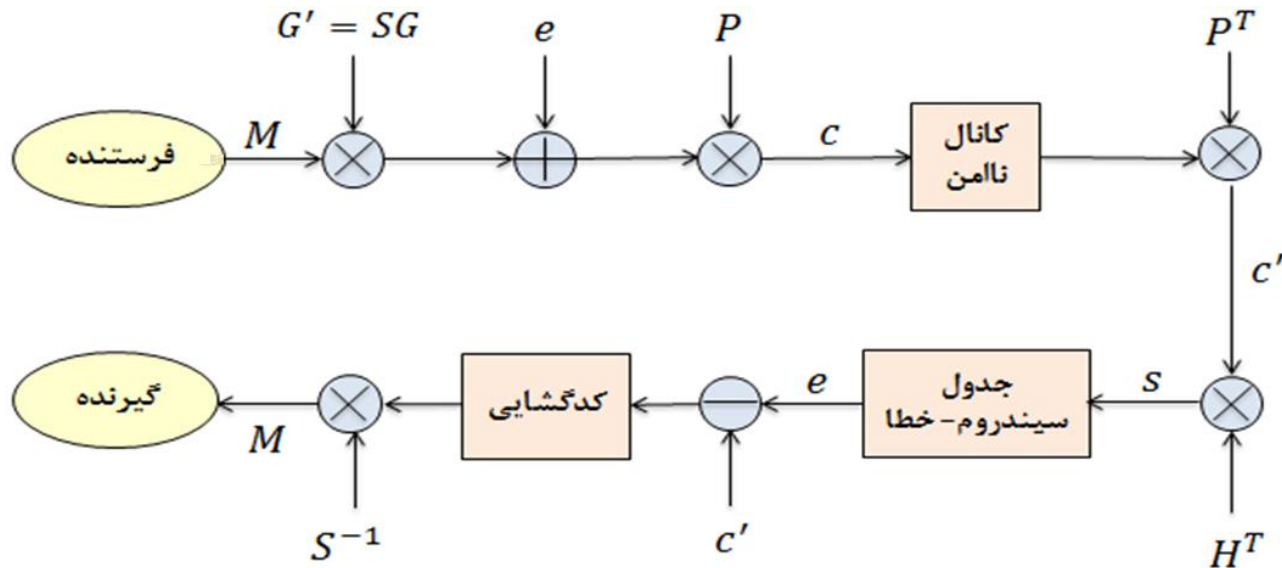
- سامانه های رمزگذاری کلید مخفی مبتنی بر کد
- سامانه های توأم رمزگذاری کلید مخفی-کدگذاری کانال



نمودار گردش سامانه های رمزگذاری کلید مخفی مبتنی بر کد

سامانه رمز کلید مخفی Rao-Nam

[RaoNam'89] □



نمودار گردش سامانه رمز کلید مخفی Rao-Nam

□ کلید مخفی:

- ماتریس نامفرد S ، ماتریس جایگشت P ، ماتریس مولد G ، جدول سیندروم - خطا،

مزایا و نواقص سامانه رمز کلید مخفی Rao-Nam

□ کد مورد استفاده:

- کد همینگ به ابعاد (72, 64)

□ مزایا:

- پیچیدگی محاسباتی کم و سرعت زیاد
- نرخ انتقال زیاد ($R \approx 0.89$)

□ نواقص:

- طول کلید زیاد (18 kbits)
- سطح امنیت پایین در برابر حمله متن اصلی منتخب
- تعداد کم کدهای هم ارز ($\mathcal{N}_C = 2^8$)

سامانه های رمز کلید مخفی مبتنی بر کد

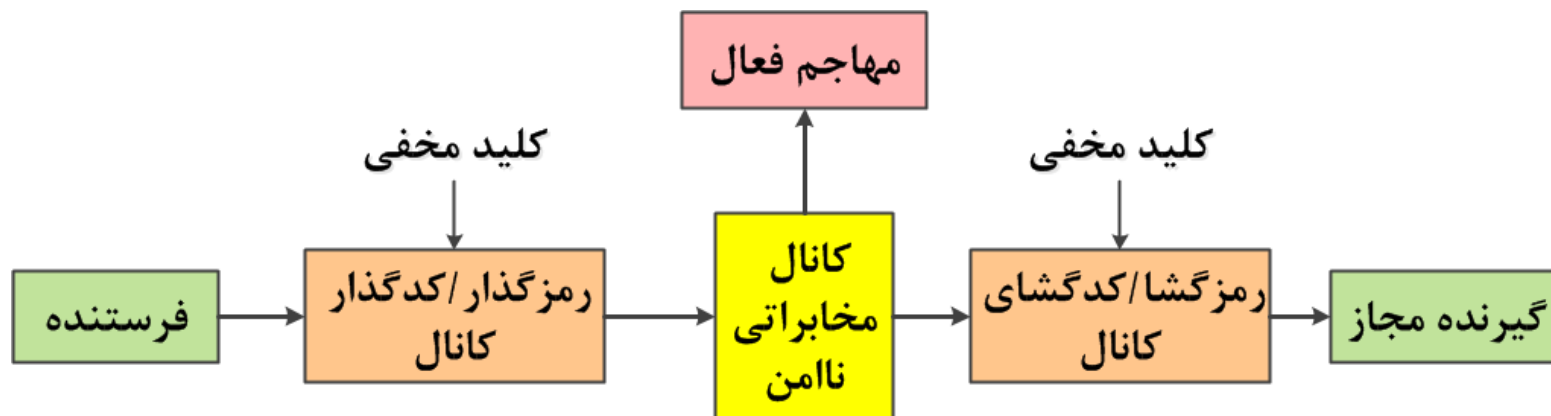
□ انواع کدهای به کار رفته:

- کدهای همینگ [RaoNam'89].
- کدهای غیرخطی [StruikTilburg'87].
- کدهای آرایه ای [AlJabri'96].
- کدهای تصحیح خطای دسته ای [Sun'97].
- کدهای ضربی [SunShieh'98].

□ نواقص سامانه های رمز گذاری کلید مخفی مبتنی بر کد:

- ناامن در برابر حمله متن اصلی منتخب
- استفاده از کدهای کانال ناکارآ

سامانه های توأم رمزنگاری کلید مخفی-کدگذاری کانال



نمودار گردش سامانه های توأم رمزگذاری کلید مخفی-کدگذاری کانال

□ کدهای مورد استفاده در سامانه های توأم رمزگذاری کلید مخفی-کدگذاری کانال:

- کدهای Turbo [PayandehAhmadianAref'06].
- کدهای EG-QC-LDPC [SobhiAfsharEghlidosAref'09].
- کدهای EDF-QC-LDPC [HooshmandEghlidosAref'11].

برخی از انواع خانواده های کدهای QC-LDPC

□ کدهای مبتنی بر هندسه متناهی:

- کدهای توازن آزمایش کم چگال شبه دوری مبتنی بر هندسه اقلیدسی (EG-QC-LDPC)
- کدهای توازن آزمایش کم چگال شبه دوری مبتنی بر هندسه تصویری (PG-QC-LDPC)

□ کدهای مبتنی بر خانواده های تفاضلی:

- کدهای توازن آزمایش کم چگال شبه دوری مبتنی بر خانواده های تفاضلی (DF-QC-LDPC)
- کدهای توازن آزمایش کم چگال شبه دوری مبتنی بر خانواده های تفاضلی گسترش یافته (EDF-QC-LDPC)

سامانه توأم مبتنی بر کدهای EG-QC-LDPC

کدهای EG-QC-LDPC

[YuLinFossorier'01] □

$GF(q)$ هندسه اقلیدسی m بعدی بر میدان متناهی $GF(q)$ □

○ تعداد نقاط: q^m

○ تعداد خطوط: $q^{(m-1)}(q^m - 1)/(q - 1)$

○ هر خط از q نقطه می گذرد.

○ از هر نقطه $(q^m - 1)/(q - 1)$ خط می گذرد.

$EG^*(m, q)$ زیرهندسه ای از $EG(m, q)$ که با حذف مبدا و تمام خطوط □

گذرنده از مبدا به دست می آید.

○ تعداد نقاط: $n = q^m - 1$

○ تعداد خطوط: $J_0 = (q^{(m-1)} - 1)(q^m - 1)/(q - 1)$

کدهای EG-QC-LDPC

□ هر عضو میدان $GF(q^m)$ را می توان به صورت یک m تایی روی $GF(q)$ نمایش داد.

○ از این رو می توان $GF(q^m)$ را با $EG(m, q)$ متناظر فرض کرد.

□ اگر α عضوی اولیه از $GF(q^m)$ باشد، در این صورت $\alpha^0, \dots, \alpha^{n-1}$ متناظر با n نقطه

غیر مبدا در $EG^*(m, q)$ است.

□ بردار تلاقی یک خط L در $EG^*(m, q)$ به صورت یک n تایی $v_L = (v_0, \dots, v_{n-1})$

روی $GF(q)$ تعریف می شود که مولفه های آن متناظر با نقاط غیرمبدا $EG^*(m, q)$

هستند.

○ $v_i = 1$ است اگر و فقط اگر α^i نقطه ای روی خط L باشد.

○ فرض کنید $v_L^{(i)}$ برداری باشد که از انتقال گردشی بردار تلاقی v_L به اندازه i

مولفه به سمت راست به دست آید.

کدهای EG-QC-LDPC

- به ازای $0 \leq i \leq n$ ، بردار تلاقی خط دیگری در $EG^*(m, q)$ است .
- v_L و $n - 1$ انتقال دوری آن، n بردار تلاقی متناظر در $EG^*(m, q)$ می دهد.
- بردارهای تلاقی J_0 خط موجود در $EG^*(m, q)$ را می توان به صورت

$$K_0 = (q^{(m-1)} - 1) / (q - 1)$$
دسته دوری افراز نمود.
- ماتریس توازن آزما:

$$H_{n \times J_0} = [H_0 H_1 \dots H_{K_0}] \quad \circ$$

$$n = q^m - 1 \quad \bullet$$

$$J_0 = (q^{(m-1)} - 1)(q^m - 1) / (q - 1) \quad \bullet$$

سامانه توأم مبتنی بر کدهای EG-QC-LDPC

[SobhiAfsharEghlidosAref'09] □

□ کلید مخفی:

○ ماتریس توازن آزمای کد EG-QC-LDPC $H = [H_1 \ H_2 \ \cdots \ H_{K_0}]$

$$P_{n \times n} = \begin{bmatrix} \pi_{l \times l} & 0 & \cdots & 0 \\ 0 & \pi_{l \times l} & \cdots & 0 \\ \vdots & \vdots & \ddots & \vdots \\ 0 & 0 & \cdots & \pi_{l \times l} \end{bmatrix}$$

○ ماتریس جایگشت

○ بردار اولیه (IV)

سامانه توأم مبتنی بر کدهای EG-QC-LDPC

□ الگوریتم رمزگذاری:

$$c = (mG + e_p)P$$

$$e_p = e(s) + h(s)$$

$$e(s) = s \cdot (H^{-1})^T$$

□ الگوریتم رمزگشایی:

$$r = (mG + e_p)P + e_{ch}$$

$$r' = rP^{-1} = mG + e_p + e_{ch}P^{-1}$$

$$e_p = e(s) + h(s) = s \cdot (H^{-1})^T + h(s)$$

$$r'' = r' - e_p = mG + e_{ch}P^{-1}$$

$$m = \text{Decode}(r'')$$

سامانه توأم مبتنی بر کدهای EG-QC-LDPC

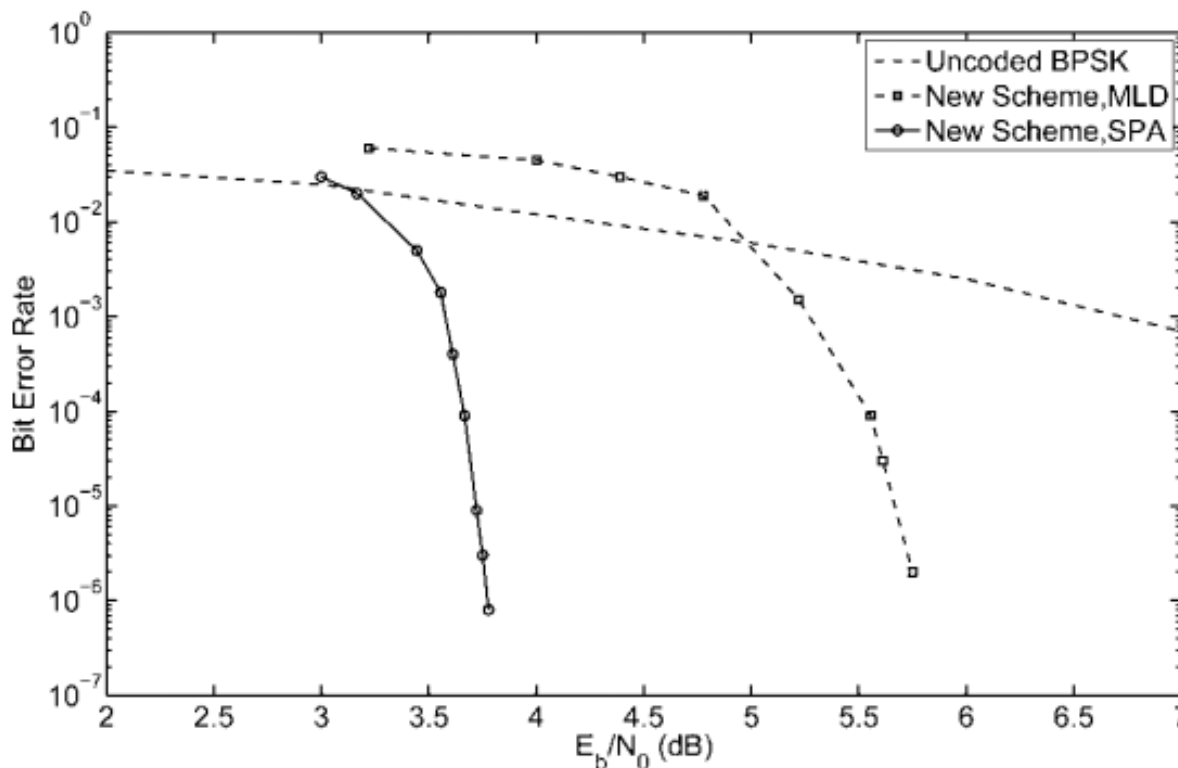
□ مزایا:

- طول کم کلید
- استفاده از خاصیت تنک بودن ماتریس توازن آزما
- استفاده از الگوریتم فشرده سازی

مقایسه طول کلید سامانه مبتنی بر کدهای EG-QC-LDPC [SobhiAfshar et al.'09]

طول کلید	کد	سامانه
2 Mbits	$C(1024, 524)$	Rao [Rao86]
18 kbits	$C(72, 64)$	Rao-Nam [RN89]
18 kbits	$C(72, 64)$	Struik-Tilburg [ST88]
42 kbits	$C(49, 36)$	Sun-Shieh [SS98]
4.9 kbits	$C(1024, 524)$	Barbero-Ytrehus [BY98]
2.5 kbits	$C(2044, 1024)$	سامانه مبتنی بر EG-QC-LDPC

سامانه توأم مبتنی بر کدهای EG-QC-LDPC



عملکرد تصحیح خطای کد EG-QC-LDPC به ابعاد (4088,3066) [SobhiAfshar et al.'09]

سامانه توأم مبتنی بر کدهای EG-QC-LDPC

□ مزایای دیگر:

- امنیت مناسب (مقاومت مناسب در برابر حملات شناخته شده)
- قابلیت تصحیح خطای مناسب

□ حملات اعمال شده:

- حمله جستجوی کامل
- حمله متن اصلی منتخب
- حمله Rao-Nam [RaoNam'89]
- حمله Struik-Tilburg [StruikTilburg'87]

سامانه توأم مبتنی بر کدهای EDF-QC-LDPC

کدهای EDF-QC-LDPC

[XiaXia'05] □

□ خانواده تفاضلی گسترش یافته (μ, n_0) :

- فرض کنید $F = \{B_1, B_2, \dots, B_{n_0}\}$ خانواده‌ای متشکل از قالب‌های پایه μ عضوی (μ عدد صحیح مخالف صفر) باشد.
- F را یک خانواده تفاضلی گسترش یافته (μ, n_0) گویند، اگر همه فواصل درون مجموعه‌ای $(x, y \in \{1, \dots, \mu\}, x \neq y)$ $b_{i,x} - b_{i,y}$ مجزا باشند. بزرگترین فاصله درون مجموعه‌ای با d_{max} نشان می دهند.
- برای یک خانواده تفاضلی گسترش یافته (μ, n_0) داریم:

$$d_{max} \geq n_0 \mu (\mu - 1) / 2$$

کدهای EDF-QC-LDPC

□ ساخت کد EDF-QC-LDPC با بردار مشخصه $chr = (m, \mu, n_0)$:

- انتخاب خانواده تفاضلی گسترش یافته (μ, n_0)
- ساخت چندجمله ای های مولد $h_i(x) = x^{b_{i,1}} + \dots + x^{b_{i,\mu}}$ ، به ازای $B_i, i = 1, \dots, n_0$
- انتخاب m به طوریکه $\mu/m \ll 1$ و ساخت ماتریس توازن آزمای

$$H_{m \times mn_0} = [H_1, H_2, \dots, H_{n_0}]$$

$$G = \left[\begin{array}{c|c} I_{m(n_0-1)} & \begin{matrix} (H_{n_0}^{-1}H_1)^T \\ (H_{n_0}^{-1}H_2)^T \\ \vdots \\ (H_{n_0}^{-1}H_{n_0-1})^T \end{matrix} \end{array} \right] \quad \text{○ ساخت ماتریس مولد}$$

سامانه توأم مبتنی بر کدهای EDF-QC-LDPC

[HooshmandEghlidosAref'11] □

کلید مخفی: □

○ ماتریس بررسی توازن $H = [H_1 \ H_2 \ \dots \ H_{n_0}]$

$$S = \begin{bmatrix} s_{1,1} & s_{1,2} & \dots & s_{1,n_0-1} \\ s_{2,1} & s_{2,2} & \dots & s_{2,n_0-1} \\ \vdots & \vdots & \ddots & \vdots \\ s_{n_0-1,1} & s_{n_0-1,2} & \dots & s_{n_0-1,n_0-1} \end{bmatrix} \quad \text{○ ماتریس نامنفرد}$$

$$P = \begin{bmatrix} p_{1,1} & 0 & \dots & 0 \\ 0 & p_{2,2} & \dots & 0 \\ \vdots & \vdots & \ddots & \vdots \\ 0 & 0 & \dots & p_{n_0,n_0} \end{bmatrix} \quad \text{○ ماتریس جایگشت}$$

○ بردار اولیه (IV)

سامانه توأم مبتنی بر کدهای EDF-QC-LDPC

□ الگوریتم رمزگذاری:

$$\begin{aligned} c &= ((m + e')SG + e'')P \\ &= mSGP + (e'SG + e'')P \\ &= mG' + e'(s)P, \end{aligned} \quad e(s) = s.(H^{-1})^T$$

□ الگوریتم رمزگشایی:

$$r = c + e_{ch} = mSGP + (e'SG + e'')P + e_{ch}$$

$$r' = rP^T = (m + e')SG + e'' + e_{ch}P^T$$

$$r'' = r' - e'' = (m + e')SG + e_{ch}P^T$$

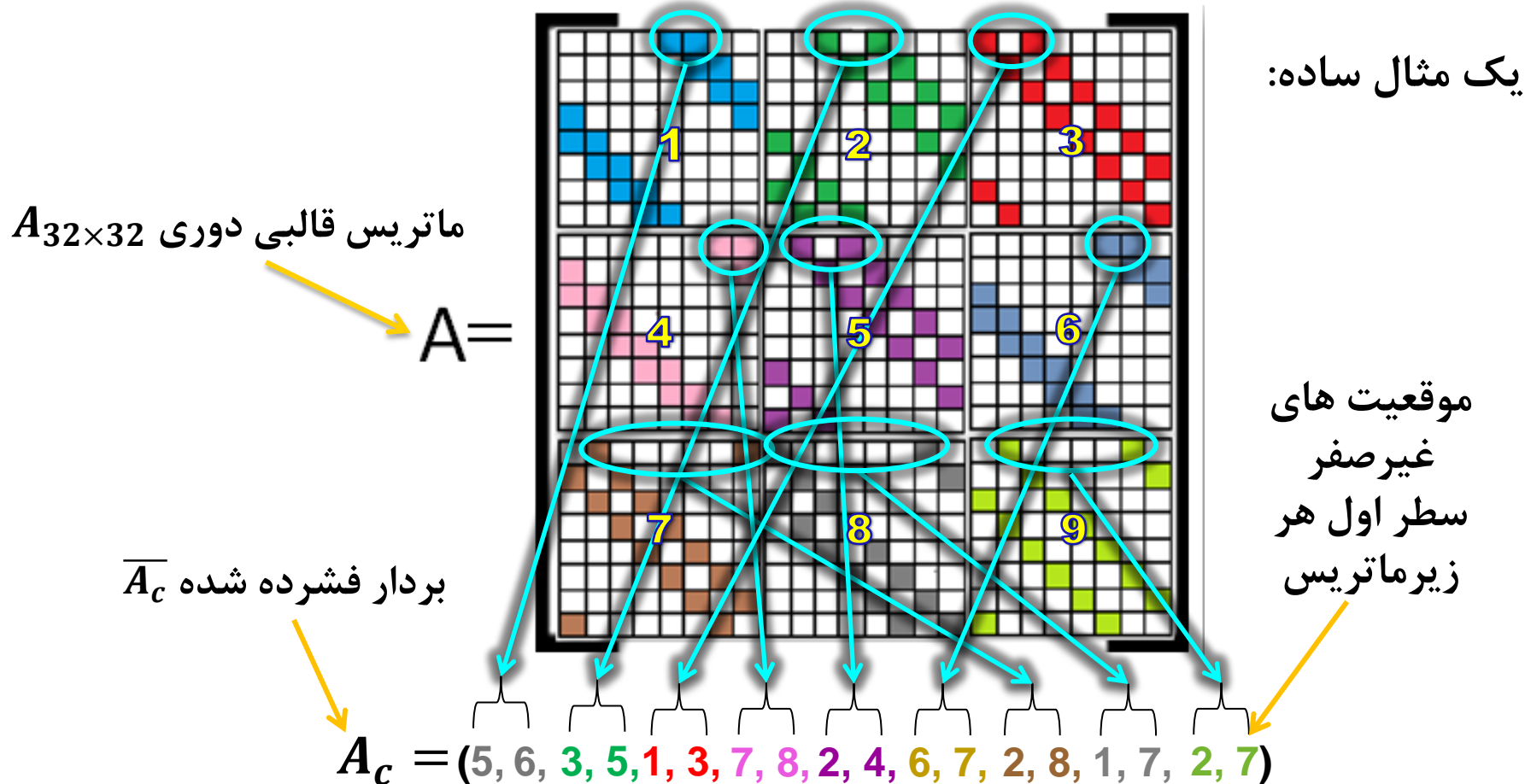
$$r''' = Decode(r'') = (m + e')S$$

$$m' = m + e' = r'''S^{-1}$$

$$m = m' - e'$$

سامانه توأم مبتنی بر کدهای EDF-QC-LDPC

روش فشرده سازی:



سامانه توأم مبتنی بر کدهای EDF-QC-LDPC

□ طول کلید قبل از فشرده سازی: $(n, k) = (2470, 2223)$

$$\mathcal{M}_H = mn_0 = 2470bit \quad \circ$$

$$\mathcal{M}_S = (n_0 - 1)^2 m \cong 20kbit \quad \circ$$

$$\mathcal{M}_P = \log_2^{(m!)} = \log_2^{(247!)} \cong 1612bit \quad \circ$$

$$\mathcal{M}_{IV} = n - k = 247bit \quad \circ$$

$$\mathcal{M}_K = \mathcal{M}_H + \mathcal{M}_S + \mathcal{M}_P + \mathcal{M}_{IV} \cong 24.4kbit \quad \circ$$

□ طول کلید پس از فشرده سازی:

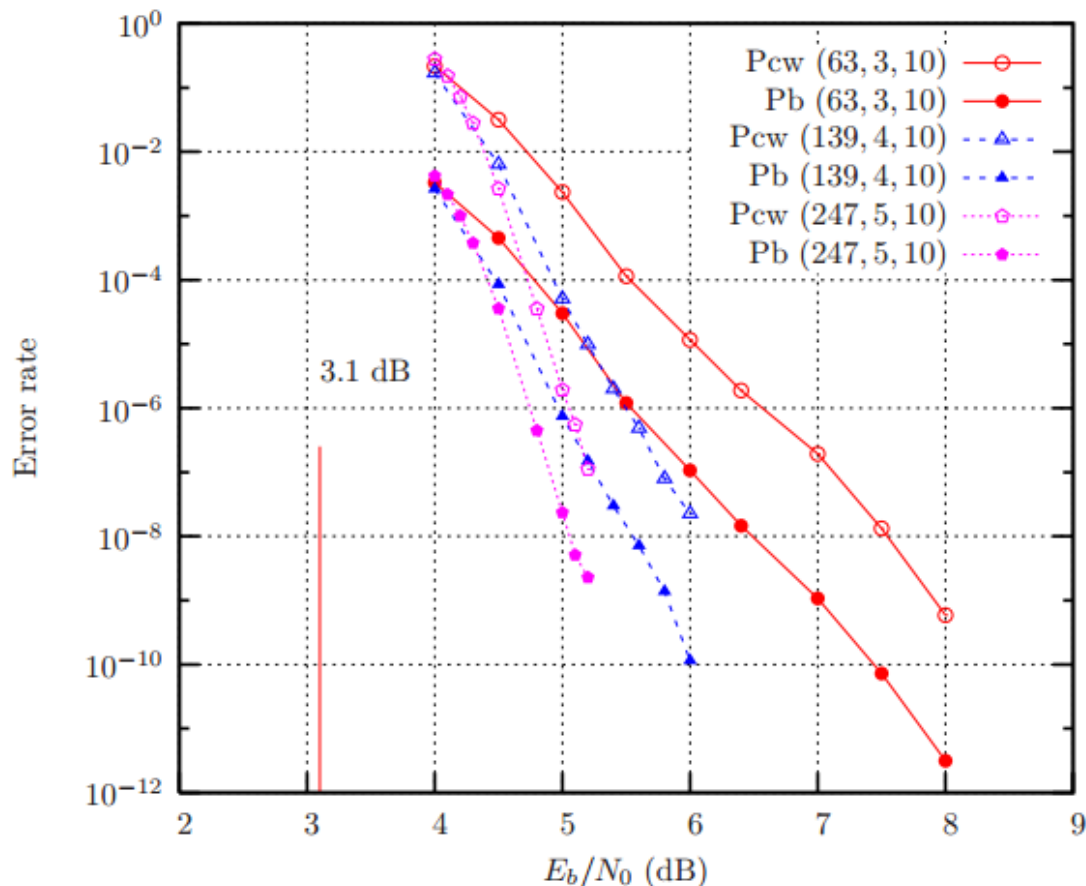
$$H \text{ فشرده سازی ماتریس بررسی توازن } \mathcal{M}_{\bar{H}_c} = \mu_H n_0 \leq 400bit \quad \circ$$

$$S \text{ فشرده سازی ماتریس ناویژه } \mathcal{M}_{\bar{S}_c} = \mu_S (n_0 - 1)^2 \leq 1296bit \quad \circ$$

$$\mathcal{M}_K = \mathcal{M}_P + \mathcal{M}_{\bar{H}_c} + \mathcal{M}_{\bar{S}_c} + \mathcal{M}_{IV} \leq 3.555kbit \quad \circ$$

□ طول کلید نسبت به قبل از فشرده سازی به میزان ۸۵ درصد کوتاهتر شده است.

سامانه توأم مبتنی بر کدهای EDF-QC-LDPC



عملکرد تصحیح خطای کد EDF-QC-LDPC به ازای سه طول متفاوت کد [XiaXia'05]

سامانه توأم مبتنی بر کدهای EDF-QC-LDPC

حمله جستجوی کامل

○ این حمله در صورتی امکان پذیر است که اندازه فضای کلید از مرتبه چندجمله‌ای باشد.

○ $n = 2470, k = 2223, n_0 = 10, m = 247$

تعداد پارامترهای کلید مخفی سامانه مبتنی بر کدهای
[Hooshmand et al.'11] EDF-QC-LDPC

تعداد کدهای هم ارز	تعداد ماتریس های نامفرد	تعداد ماتریس های جایگشت	تعداد بردارهای خطای عمودی
$N_{EDF} = \binom{m}{\mu}^{n_0}$	$N_S > 2^{k^2-k}$	$N_P = m!$	$N_e = 2^{n-k}$
$N_{EDF} = 2^{327}$	$N_S \gg 2^{80}$	$N_P = 247! \gg 2^{80}$	$N_e = 2^{247}$

□ با توجه به تعداد زیاد پارامترهای کلید مخفی، حمله جستجوی کامل امکان پذیر نیست.

سامانه توأم مبتنی بر کدهای EDF-QC-LDPC

حمله [RaoNam'89] Rao-Nam □

$$c = mSGP + (e'SG + e'')P = mG' + e'(s)P$$

$$m_1 - m_2 = (0, 0, \dots, 0, 1, 0, \dots, 0)$$

بیت i -ام، $i = 1, \dots, k$

$$c_1 = m_1SGP + (e'_1SG + e''_1)P = m_1G' + e'_1(s)P$$

$$c_2 = m_2SGP + (e'_2SG + e''_2)P = m_2G' + e'_2(s)P$$

$$c_1 - c_2 = (m_1 - m_2)G' + (e'_1(s) - e'_2(s))P = g'_i + (e'_1(s) - e'_2(s))P$$

i -امین بردار سطری ماتریس G'

○ به واسطه چگال بودن ماتریس مولد G کد EDF-QC-LDPC بردار $(e'_1(s) - e'_2(s))P$ چگال است.

از این رو نمی توان بردار $c_1 - c_2$ را تخمین زد و حمله با شکست مواجه می شود.

سامانه توأم مبتنی بر کدهای EDF-QC-LDPC

حمله Struik-Tilburg [StruikTilburg'87] □

$$c = ((m + e')SG + e'')P = mG' + e'(s)P$$

$$c_1 = ((m + e_1')SG + e_1'')P = mG' + e_1'(s)P$$

$$c_2 = ((m + e_2')SG + e_2'')P = mG' + e_2'(s)P$$

⋮

$$c_{N_e} = ((m + e_{N_e}')SG + e_{N_e}'')P = mG' + e_{N_e}'(s)P$$

بردارهای متن های رمز
شده به ازای بردارهای
خطای متفاوت

□ به دست آوردن N_e متن رمز شده مجزا c_1, c_2, \dots, c_{N_e} به ازاء هر بردار متن اصلی m به طور میانگین به $O(N_e \log N_e)$ عملیات رمزگذاری نیاز دارد.

□ در این سامانه داریم: $N_e = 2^{247}$ و $O(N_e \log N_e) = O(2^{253})$

بنابراین این حمله با شکست مواجه می شود.

نتیجه گیری

نتیجه گیری

- استفاده از رمزگذاری کلید مخفی مبتنی بر مسائل سخت کدینگ یکی از راهکارهای مناسب جهت دستیابی به امنیت و کارآیی در سامانه های ارتباطی است.
- مهمترین مسئله در طراحی این نوع سامانه ها، برقراری یک بده و بستن مناسب بین امنیت و کارآیی است به طوریکه هیچ یک از پارامترهای امنیت و کارآیی، قربانی یکدیگر نشوند.
- بهره گیری از کدهای مناسب و الگوریتم های بهینه رمزگذاری و رمزگشایی، ابزارهای مناسبی جهت نیل به این هدف هستند.

مسائل باز

□ استفاده از کدهای مناسب کانال در ساختار سامانه های رمز کلید مخفی مبتنی

بر مسائل سخت کدینگ

○ کدهای قطبی

□ طراحی الگوریتم های بهینه رمزگذاری و رمزگشایی در ساختار این نوع سامانه ها

□ ارائه حملات جدید به این نوع از سامانه ها

□ استفاده از مسائل سخت متفاوت جهت طراحی این نوع سامانه ها

- [Rao84] T.R.N. Rao, “Joint encryption and error correction schemes”, 11th Int. Symp. on Computer Architecture, Ann Arbor, Mich., pp. 240–241, 1984.
- [RN89] T.R.N. Rao, K. H. Nam, “Private-Key Algebraic-Code Encryption”, IEEE Trans. Inf. Theory, Vol. 35, No. 4, pp. 829–833, 1989.
- [ST87] R. Struik, J. Van Tilburg, “The Rao-Nam scheme is insecure against a chosen-plaintext attack”, CRYPTO’87, pp. 445–457, New York: Springer-Verlag, 1987.
- [SS98] H. M. Sun, S. P. Shieh, “On private-key cryptosystems based on product codes”, 3rd Australian Conf. on Inf. Security and Privacy, pp. 68–79, 1998.
- [BY98] A. I. Barbero, O. Ytrehus, “Modifications of the Rao-Nam Cryptosystem”, in Proc. Int. Conf. on Coding Theory, Cryptography and Related Areas, pp. 1-13, 1998.



مراجع

[YLF01] K. Yu, S. Lin, M. Fossorier, “Low density parity check codes based on finite geometries: A discovery and new results”, IEEE Trans. Inf. Theory, Vol. 47, No. 11, pp. 2711-2736, 2001.

[XiaXia05] Xia, T., Xia, B., “Quasi-cyclic codes from extended difference families”, In Proc. IEEE Wireless Commun. and Networking Conf, Vol. 2, pp. 1036-1040, Mar. 2005, New Orleans, USA.

[PAA06] A. Payandeh, M. Ahmadian, M. R. Aref, “Adaptive secure channel coding based on punctured turbo codes”, IEE Proc. Commun., Vol. 153, No. 2, pp. 313-316, 2006.

[SEA09] A. A. Sobhi Afshar, , T. Eghlidos, M. R. Aref, “Efficient secure channel coding based on quasi-cyclic low-density parity-check codes” IET Commun., Vol. 3, No. 2, pp. 279-292, 2009.

[HEA11] R. Hooshmand, T. Eghlidos, M. R. Aref, “Improving the Rao-Nam Secret Key Cryptosystem Using Regular EDF-QC-LDPC Codes”, ISeCure Journal, Vol. 4, No. 1, pp. 3-14, 2011.

با تشکر از توجه شما

